Proyecto: **CUBIERTA IGAC**
Proyecto nº:
Autor:

Datos del proyecto

Nombre del proyecto	CUBIERTA IGAC
Número del Proyecto	
Autor	
Descripción	
Fecha	14/04/2025
Código	AISC/ACI

Material

Acero	A572 Gr.50
Hormigón	4500 psi, 3000 psi

Ítem del proyecto CON18

Diseño

Nombre	CON18
Descripción	
Análisis	Tensión, deformación/ Cargas en equilibrio
Normativa de cálculo	AISC - LRFD (2022)

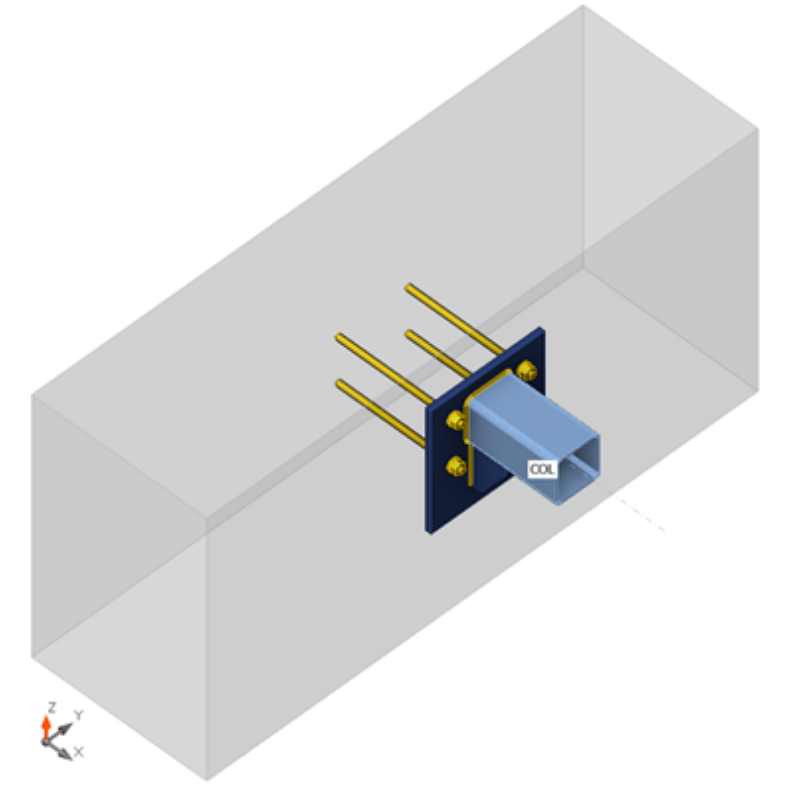
Elementos

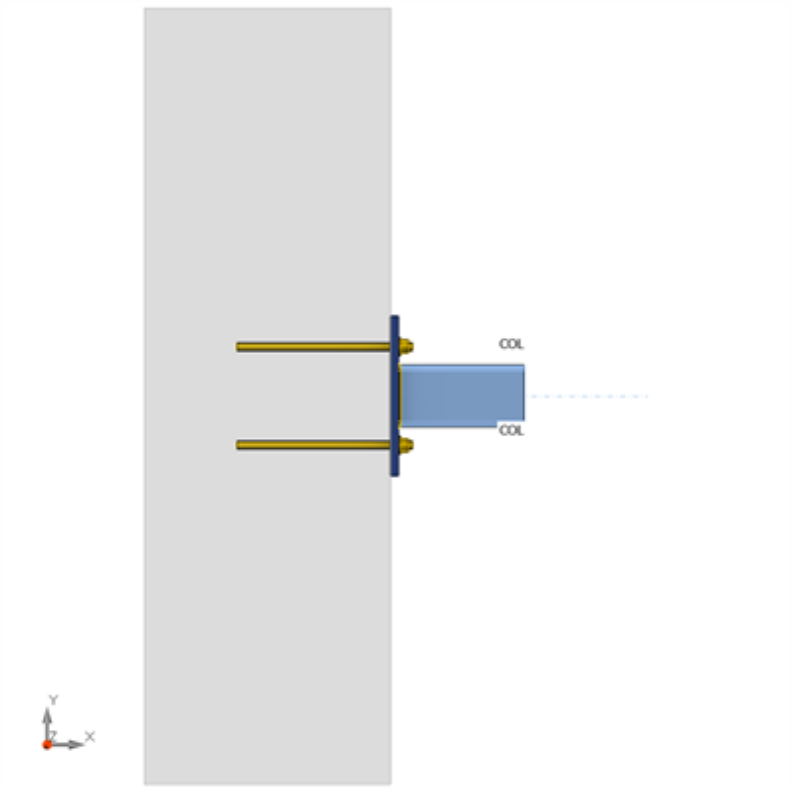
Geometría

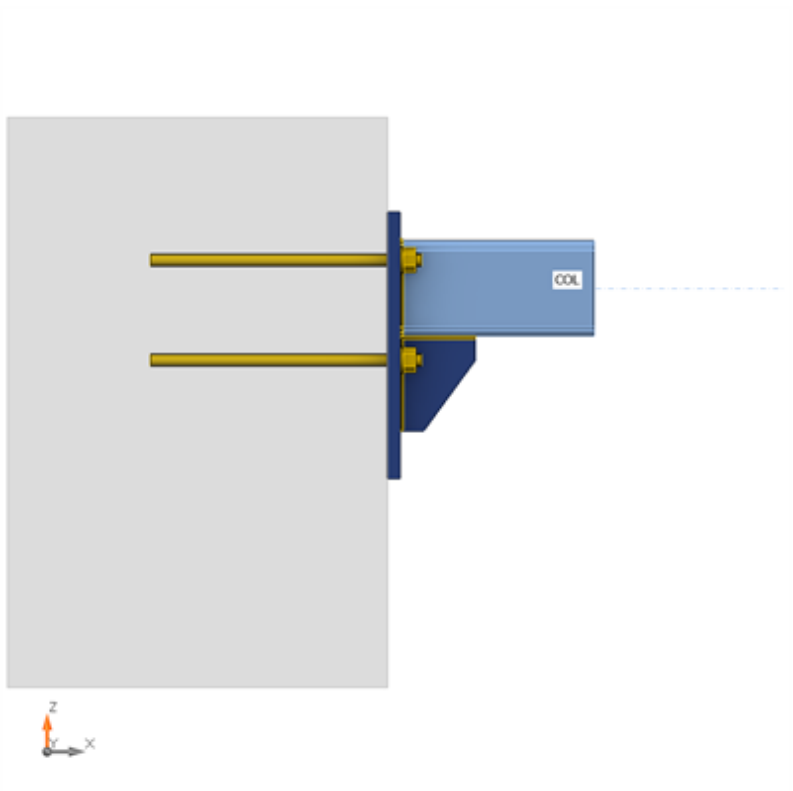
Nombre	Sección transversal	β – Dirección [°]	γ - Inclinación [°]	α - Rotación [°]	Desplazamiento ex [mm]	Desplazamiento ey [mm]	Desplazamiento ez [mm]
COL	3 - RHS100x100	0.0	0.0	0.0	0	0	0

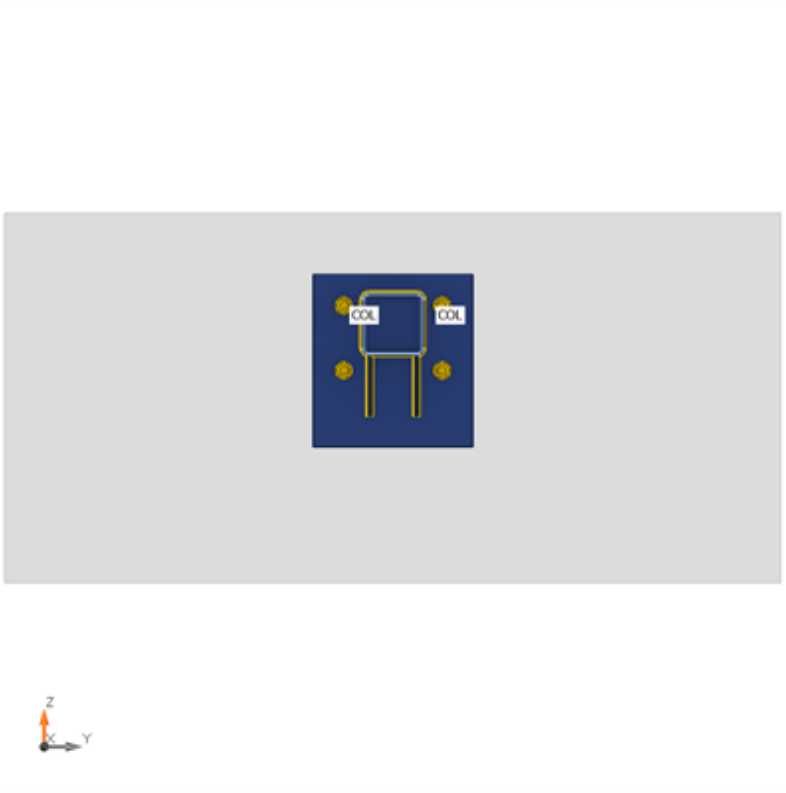
Apoyos y fuerzas

Nombre	Apoyo	Fuerzas en	X [mm]
COL / final		Nodo	0




COL
COL
Y
Z
X

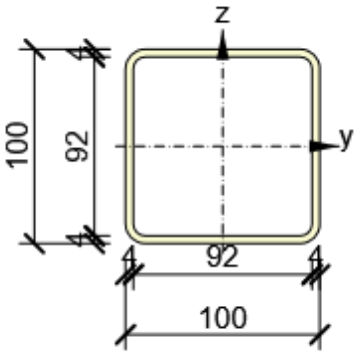

COL
Z
Y
X



Secciones

Nombre	Material
3 - RHS100x100	A572 Gr.50

Secciones

Nombre	Material	Dibujo
3 - RHS100x100	A572 Gr.50	

Anclajes

Nombre	Conjunto de tornillo	Diámetro [mm]	f_u [MPa]	Área bruta [mm^2]
1/2 A325	1/2 A325	13	827.4	127

Cargas (Fuerzas en equilibrio)

Nombre	Elemento	N [kN]	Vy [kN]	Vz [kN]	Mx [kNm]	My [kNm]	Mz [kNm]
LE1	COL / Finalizar	11.6	12.2	-18.2	0.0	0.0	0.0

Fuerzas Desbalanceadas

Nombre	X [kN]	Y [kN]	Z [kN]	Mx [kNm]	My [kNm]	Mz [kNm]
LE1	11.6	12.2	-18.2	0.0	0.0	0.0

Bloque de la cimentación

Ítem	Valor	Unidad
CB 1		
Dimensiones	1260 x 600	mm
Profundidad	400	mm
Anclaje	1/2 A325	
Longitud del anclaje	250	mm
Transferencia de la fuerza cortante	Anclajes	

Verificación

Resumen

Nombre	Valor	Estado de la verificación
Análisis	100.0%	OK
Placas	0.0 < 5.0%	OK
Deformación loc.	0.0 < 3%	OK
Anclajes	54.3 < 100%	OK
Soldaduras	37.1 < 100%	OK
Bloque de hormigón	1.2 < 100%	OK
Pandeo	No calculado	

Placas

Nombre	t_p [mm]	Cargas	σ_{Ed} [MPa]	ε_{Pl} [%]	$\sigma_{c,Ed}$ [MPa]	Estado
COL	4.0	LE1	140.9	0.0	0.0	OK
BP1	12.7	LE1	40.9	0.0	0.0	OK
RIB1a	4.0	LE1	32.8	0.0	0.0	OK
RIB1b	4.0	LE1	37.7	0.0	0.0	OK

Datos de diseño

Material	F_y [MPa]	ε_{lim} [%]
A572 Gr.50	344.7	5.0

Explicación del símbolo

t_p	Espesor de placa
σ_{Ed}	Tensión equivalente
ε_{Pl}	Deformación plástica
$\sigma_{c,Ed}$	Tensiones de Contacto
F_y	Límite elástico
ε_{lim}	Límite de la deformación plástica

Resultado detallado para COL

Design values used in the analysis

$\phi F_y =$ 310.3 MPa

Donde:

$F_y = 344.7$ MPa – characteristic yield strength

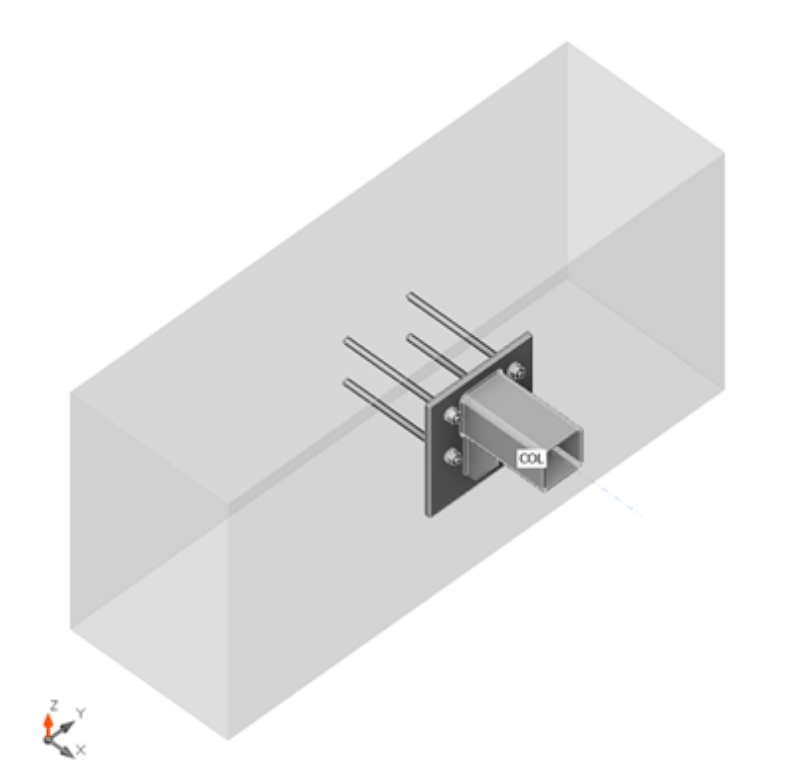
$\phi = 0.90$ – resistance factor for steel material AISC 360-22 – B3.1

Deformación loc.

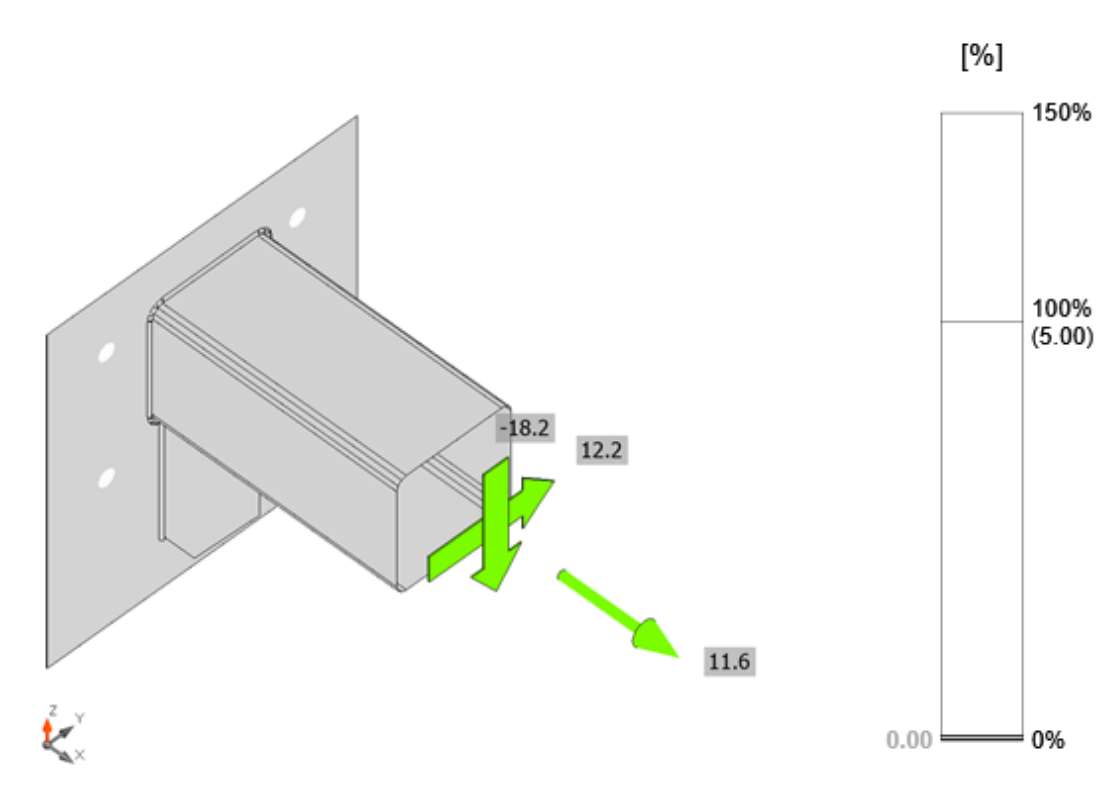
Nombre	d_0 [mm]	Cargas	δ [mm]	δ_{lim} [mm]	δ/d_0 [%]	Estado de la verificación
COL	100	LE1	0	3	0.0	OK

Explicación del símbolo

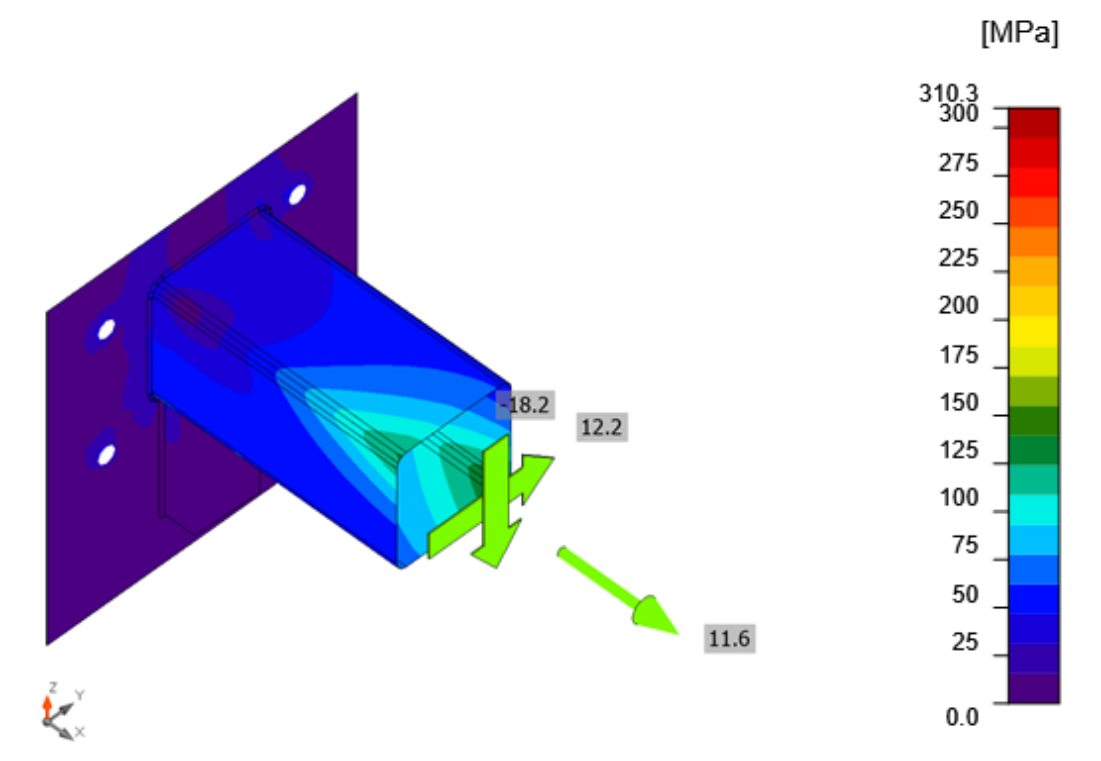
d_0	Tamaño de la sección
δ	Deformación local de la sección
δ_{lim}	Deformación permitida



Verificación general, LE1

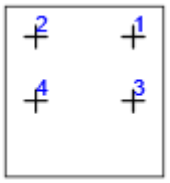


Verificación de deformación, LE1



Tensión equivalente, LE1

Anclajes

Forma	Ítem	Cargas	N_f [kN]	V [kN]	ϕN_{cbg} [kN]	ϕV_{cbg} [kN]	ϕV_{cp} [kN]	Ut_t [%]	Ut_s [%]	Ut_{ts} [%]	Detallado	Estado
	A1	LE1	4.5	6.2	96.5	27.9	186.0	14.6	54.3	40.2	Aceptar	OK
	A2	LE1	4.4	5.3	96.5	-	186.0	14.6	17.8	9.7	Aceptar	OK
	A3	LE1	2.6	5.8	96.5	27.9	186.0	14.6	54.3	40.2	Aceptar	OK
	A4	LE1	2.6	4.7	96.5	61.9	186.0	14.6	31.1	18.3	Aceptar	OK

Datos de diseño

Calidad	ϕN_{sa} [kN]	ϕV_{sa} [kN]
1/2 A325 - 1	53.1	29.6

Explicación del símbolo

N_f	Fuerza de tracción
V	Resultante de fuerzas cortantes en pernos Vy y Vz en planos de cortantes
ϕN_{cbg}	Resistencia al arrancamiento del cono de hormigón a tracción de acuerdo con – ACI 318-14 – 17.4.2
ϕV_{cbg}	Resistencia al arrancamiento del cono de hormigón a cortante de acuerdo con – ACI 318-14 – 17.5.2
ϕV_{cp}	Resistencia al desprendimiento del hormigón por cabeceo del anclaje a cortante de acuerdo con – ACI 318-14 – 17.5.3
Ut_t	Utilización a tracción
Ut_s	Utilización a cortante
Ut_{ts}	Utilización a tensión y cortante
ϕN_{sa}	Resistencia del anclaje en tracción - ACI 318-14 – 17.4.1
ϕV_{sa}	Resistencia del anclaje a cortante - ACI 318-14 – 17.5.1

Resultado detallado para A1

Following checks of anchors loaded in tension are not provided and should be checked using information in relevant Technical Product Specification (based on the 5 percent fractile of tests performed and evaluated according to ACI 355.2):

- *Pull-out failure of fastener (for post-installed mechanical anchors) - ACI 318-19 – 17.6.3*
- *Bond strength of adhesive anchor (for post-installed bonded anchors) - ACI 318-19 – 17.6.5*
- *Concrete splitting failure during installation should be evaluated by ACI 355.2 requirements*

Concrete blow-out failure is provided only for anchors with washer plates.

Resistencia a tracción del anclaje (ACI 318-14 – 17.4.1)

$\phi N_{sa} = \phi \cdot A_{se,N} \cdot f_{uta} =$ 53.1 kN ≥ $N_f =$ 4.5 kN

Donde:

$\phi =$ 0.70 – factor de resistencia

$A_{se,N} =$ 92 mm^2 – Área a tracción

$f_{uta} =$ 827.4 MPa – resistencia última espeficifica para el acero del tornillo

- $f_{uta} = \min(860\ \text{MPa}, 1.9 \cdot f_{ya},\ f_u)$, donde:
  - $f_{ya} =$ 634.3 MPa – límite elástico esfecificado del acero del anclaje
  - $f_u =$ 827.4 MPa – resistencia última espeficifica para el acero del anclaje

Resistencia a arrancamiento del hormigón del anclaje en tracción (ACI 318-14 – 17.4.2)

La comprobación se realiza para el grupo de anclajes que forman el cono de rotura de tensión común: A1, A2, A3, A4

$\phi N_{cbg} = \phi \cdot \frac{A_{Nc}}{A_{Nc0}} \cdot \Psi_{ed,N} \cdot \Psi_{ec,N} \cdot \Psi_{c,N} \cdot N_b =$ 96.5 kN ≥ $N_{fg} =$ 14.1 kN

Donde:

$N_{fg} =$ 14.1 kN – suma de las fuerzas de tracción en los anclajes con un área común del cono de arrancamiento de hormigón

$\phi =$ 0.70 – factor de resistencia

$A_{Nc} =$ 546000 mm^2 – Cono de arrancamiento del hormigón para el grupo de anclajes

$A_{Nc0} =$ 562500 mm^2 – Cono de arrancamiento del hormigón de un solo anclaje no influenciado por los bordes

$\Psi_{ed,N} =$ 0.82 – factor modificador por la distancia al borde

- $\Psi_{ed,N} = \min(0.7 + \frac{0.3 \cdot c_{a,min}}{1.5 \cdot h_{ef}}, 1)$, donde:
  - $c_{a,min} =$ 150 mm – distancia mínima desde el anclaje hasta el borde
  - $h_{ef} = \min(h_{emb}, \max(\frac{c_{a,max}}{1.5}, \frac{s}{3})) =$ 250 mm – profundidad del embebimiento, donde:
    - $h_{emb} =$ 250 mm – longitud del anclaje
    - $c_{a,max} =$ 550 mm – máxima distancia del anclaje a uno de los tres bordes más cercanos
    - $s =$ 160 mm – máximo espaciado entre anclajes

$\Psi_{ec,N} =$ 0.96 – factor modificador para grupos de anclajes cargados excéntricamente

- $\Psi_{ec,N} = \Psi_{ecx,N} \cdot \Psi_{ecy,N}$, donde:
  - $\Psi_{ecx,N} = \frac{1}{1+\frac{2 \cdot e_{x,N}}{3 \cdot h_{ef}}} =$ 1.00 – factor modificador que depende de la excentricidad en la dirección x
  - $e_{x,N} =$ 1 mm – excentricidad de la carga de tracción en la dirección x
  - $\Psi_{ecy,N} = \frac{1}{1+\frac{2 \cdot e_{y,N}}{3 \cdot h_{ef}}} =$ 0.97 – factor modificador que depende de la excentricidad en la dirección y
  - $e_{y,N} =$ 14 mm – excentricidad de la carga de tracción en la dirección y
  - $h_{ef} =$ 250 mm – profundidad del embebimiento

$\Psi_{c,N} =$ 1.00 – factor modificador para las condiciones del hormigón

$N_b =$ 179.8 kN – resistencia básica a arrancamiento del hormigón de un solo anclaje a tracción

- $N_b = k_c \cdot \lambda_a \cdot \sqrt{f'_c} \cdot h_{ef}^{1.5}$, donde:
  - $k_c =$ 10.0 – coeficiente para anclajes hormigonados in situ
  - $\lambda_a =$ 1.00 – factor de modificación para hormigones ligeros
  - $f'_c =$ 20.7 MPa – resistencia a compresión del hormigón
  - $h_{ef} =$ 250 mm – profundidad del embebimiento

Resistencia a cortante (ACI 318-14 – 17.5.1)

$\phi V_{sa} = \phi \cdot 0.6 \cdot A_{se,V} \cdot f_{uta} =$ 29.6 kN ≥ $V =$ 6.2 kN

Donde:

$\phi =$ 0.65 – factor de resistencia

$A_{se,V} =$ 92 mm^2 – Área a tracción

$f_{uta} =$ 827.4 MPa – resistencia última espeficifica para el acero del tornillo

- $f_{uta} = \min(860\ \text{MPa}, 1.9 \cdot f_{ya},\ f_u)$, donde:
  - $f_{ya} =$ 634.3 MPa – límite elástico esfecificado del acero del anclaje
  - $f_u =$ 827.4 MPa – resistencia última espeficifica para el acero del anclaje

Verificación de la resistencia al arrancamiento del hormigón (ACI 318-14 – 17.5.2)

La comprobación se realiza para el grupo de anclajes que forman el cono de rotura de cortante común: A1, A3

$$\phi V_{cbg} = \phi \cdot \frac{A_{Vc}}{A_{Vc0}} \cdot \Psi_{ec,V} \cdot \Psi_{ed,V} \cdot \Psi_{c,V} \cdot \Psi_{h,V} \cdot \Psi_{\alpha,V} \cdot V_{br} = \quad 27.9 \quad \text{kN} \quad \geq \quad V_g = \quad 15.2 \quad \text{kN}$$

Donde:

$V_g = 15.2$ kN – suma de los cortantes de los anclajes sobre una misma placa base

$\phi = 0.65$ – factor de resistencia

$A_{Vc} = 240000$ mm^2 – área proyectada de agotamiento del hormigón o grupo de anclajes

$A_{Vc0} = 320000$ mm^2 – área proyectada de agotamiento del hormigón de un anclaje cuando no está limitado por influencia de la esquina, espaciado o espesor del elemento

$\Psi_{ec,V} = 0.97$ – factor modificador para anclajes cargados excéntricamente a cortante

- $\Psi_{ec,V} = \frac{1}{1+\frac{2 \cdot e'_V}{3 \cdot c_{a1}}}$, donde:
  - $e'_V =$ 11 mm – excentricidad del esfuerzo cortante
  - $c_{a1} =$ 267 mm $\leq \max\left(\frac{h_a}{1.5}, \frac{c_{a2,max}}{1.5}, \frac{s}{3}\right)$ – distancia al borde en la dirección de la carga
    - $c_{a1} =$ 267 mm $\leq \max\left(\frac{h_a}{1.5}, \frac{c_{a2,max}}{1.5}, \frac{s}{3}\right)$ – distancia al borde en la dirección de la carga
    - $c_{a2,max} =$ 345 mm – La mayor de las dos distancias hasta los ejes paralelos a la dirección de la carga
    - $s =$ 160 mm – El espaciamiento maximo en la direccion entre dos pernos dentro de un grupo

$\Psi_{ed,V} = 0.81$ – factor modificador para el efecto de grupo

- $\Psi_{ed,V} = 0.7 + 0.3 \cdot \frac{c_{a2}}{1.5 \cdot c_{a1}} \leq 1$, donde:
  - $c_{a1} =$ 267 mm $\leq \max\left(\frac{h_a}{1.5}, \frac{c_{a2,max}}{1.5}, \frac{s}{3}\right)$ – distancia al borde en la dirección de la carga
    - $c_{a1} =$ 267 mm $\leq \max\left(\frac{h_a}{1.5}, \frac{c_{a2,max}}{1.5}, \frac{s}{3}\right)$ – distancia al borde en la dirección de la carga
    - $c_{a2,max} =$ 345 mm – La mayor de las dos distancias hasta los ejes paralelos a la dirección de la carga
    - $s =$ 160 mm – El espaciamiento maximo en la direccion entre dos pernos dentro de un grupo
  - $c_{a2} =$ 150 mm – distancia al borde en la dirección perpendicular a la carga

$\Psi_{c,V} = 1.00$ – factor modificador para las condiciones del hormigón

$\Psi_{h,V} = 1.00$ – factor modificador para los anclajes localizados en un elemento de hormigón poco profundo:

- $\Psi_{h,V} = \sqrt{\frac{1.5 \cdot c_{a1}}{h_a}} \geq 1$, donde:
  - $h_a =$ 400 mm – espesor del elemento en el que se ancla un anclaje medido paralelamente al eje del anclaje

$\Psi_{\alpha,V} = 1.17$ – factor modificador para anclajes cargados bajo un ángulo con el borde del hormgión

- $\Psi_{\alpha,V} = \sqrt{\frac{1}{(\cos \alpha_V)^2 + (0.5 \cdot \sin \alpha_V)^2}}$, donde:
  - $\alpha_V =$ 36.4 ° – ángulo entre la dirección del cortante y la dirección perpendicular al borde del hormigón

$V_b = 62.2$ kN – resistencia básica a arrancamiento de un solo anclaje a cortante:

- $V_b = \min(0.6 \cdot (\frac{l_e}{d_a})^{0.2} \cdot \lambda_a \cdot \sqrt{d_a} \cdot \sqrt{f'_c} \cdot c_{a1}^{1.5}, 3.7 \cdot \lambda_a \cdot \sqrt{f'_c} \cdot c_{a1}^{1.5})$, donde:
  - $l_e =$ 102 mm – effectiveLen
  - $d_a =$ 13 mm – diámetro del anclaje
  - $\lambda_a =$ 1.00 – factor de modificación para hormigones ligeros
  - $f'_c =$ 20.7 MPa – resistencia a compresión del hormigón
  - $c_{a1} =$ 267 mm $\leq \max\left(\frac{h_a}{1.5}, \frac{c_{a2,max}}{1.5}, \frac{s}{3}\right)$ – distancia al borde en la dirección de la carga
    - $c_{a1} =$ 267 mm $\leq \max\left(\frac{h_a}{1.5}, \frac{c_{a2,max}}{1.5}, \frac{s}{3}\right)$ – distancia al borde en la dirección de la carga
    - $c_{a2,max} =$ 345 mm – La mayor de las dos distancias hasta los ejes paralelos a la dirección de la carga
    - $s =$ 160 mm – El espaciamiento maximo en la direccion entre dos pernos dentro de un grupo

Resistencia al arrancamiento en cuña del hormigón (pryout) (ACI 318-14 – 17.5.3)

La comprobación se realiza para el grupo de anclajes en la placa base común

$\phi V_{cp} = \phi \cdot k_{cp} \cdot N_{cp} =$ 186.0 kN ≥ $V_g =$ 21.9 kN

Donde:

$\phi = 0.65$ – factor de resistencia

$k_{cp} = 2.00$ – factor de arrancamiento por cortante en cuña del hormigón (pry-out)

$N_{cp} = 143.1$ kN – resistencia a arrancamiento del cono de hormigón en caso de todos los anclajes en tracción

$V_g = 21.9$ kN – suma de los cortantes de los anclajes sobre una misma placa base

Interacción tracción-cortante (ACI 318-14 – R17.6)

${U_{tt}}^{5/3} + {U_{ts}}^{5/3} =$ 0.40 ≤ 1.0

Donde:

$U_{tt} = 0.15$ – máxima ratio entre fuerza de tracción factorizada y resistencia a tracción determinada a partir de todos los modos de fallo relevantes

$U_{ts} = 0.54$ – máxima ratio entre esfuerzo cortante factorizado y resistencia a cortante determinada a partir de todos los modos de fallo relevantes

Soldaduras

Ítem	Borde	Xu	t_w [mm]	w [mm]	L [mm]	L_c [mm]	Cargas	F_n [kN]	ϕR_n [kN]	Ut [%]	Detallado	Estado
BP1	RIB1a	E70xx	◢ 2.8 ◣	◢ 4.0 ◣	99	8	LE1	0.1	5.4	2.6	Aceptar	OK
		E70xx	◢ 2.8 ◣	◢ 4.0 ◣	99	8	LE1	0.2	7.0	3.1	Aceptar	OK
COL-w 1	RIB1a	E70xx	◢ 2.8 ◣	◢ 4.0 ◣	80	8	LE1	0.5	5.1	10.0	Aceptar	OK
		E70xx	◢ 2.8 ◣	◢ 4.0 ◣	80	8	LE1	0.5	5.1	10.2	Aceptar	OK
BP1	RIB1b	E70xx	◢ 2.8 ◣	◢ 4.0 ◣	99	8	LE1	0.4	7.3	5.4	Aceptar	OK
		E70xx	◢ 2.8 ◣	◢ 4.0 ◣	99	8	LE1	0.2	7.3	3.2	Aceptar	OK
COL-w 1	RIB1b	E70xx	◢ 2.8 ◣	◢ 4.0 ◣	80	8	LE1	0.2	5.0	4.1	Aceptar	OK
		E70xx	◢ 2.8 ◣	◢ 4.0 ◣	80	8	LE1	0.2	5.2	4.1	Aceptar	OK
BP1	COL	E70xx	◢ 2.8	◢ 4.0	366	4	LE1	1.0	2.7	37.1	Aceptar	OK

Datos de diseño

Material	F_{exx} [MPa]
E70xx	482.6

Explicación del símbolo

t_w	Espesor de garganta de soldadura
w	Tamaño de la soldadura
L	Longitud de la soldadura
L_c	Longitud del elemento crítico de la soldadura
F_n	Fuerza en el elemento crítico de la soldadura
ϕR_n	Resistencia de la soldadura - AISC 360-22 – J2-4
Ut	Utilización
◢	Cordón de soldadura
F_{exx}	Ultimate strength as rated by electrode classification number

Resultado detallado para BP1 / COL

Comprobación de la resistencia de la soldadura (AISC 360-22 – J2-4)

$$\phi R_n = \phi \cdot F_{nw} \cdot A_{we} = \quad 2.7 \quad \text{kN} \quad \geq \quad F_n = \quad 1.0 \quad \text{kN}$$

Donde:

$F_{nw} =$ 308.8 MPa – resistencia nominal del material de aportación:

- $F_{nw} = 0.6 \cdot F_{EXX} \cdot (1 + 0.5 \cdot sin^{1.5}\theta)$, donde:
  - $F_{EXX} =$ 482.6 MPa – número de clasificación del electrodo, p.e. mínima resistencia a tracción especificada
  - $\theta =$ 15.1° – ángulo de actuación de la carga medido desde el eje de la soldadura

$A_{we} =$ 12 mm^2 – área eficaz del elemento de soldadura crítico

$\phi =$ 0.75 – factor de resistencia para conexiones soldadas

Bloque de hormigón

Ítem	Cargas	A_1 [mm^2]	A_2 [mm^2]	σ [MPa]	$\phi f_{p,max}$ [MPa]	Ut [%]	Estado
CB 1	LE1	9877	199389	0.3	22.9	1.2	OK

Explicación del símbolo

A_1	Área cargada
A_2	Área de soporte
σ	Tensión media en el hormigón
$\phi f_{p,max}$	Resistencia del apoyo de hormigón
Ut	Utilización

Resultado detallado para CB 1

Comprobación de la resistencia a compresión del bloque de hormigón (AISC 360-22 – J8)

$\phi_c f_{p,max} =$ 22.9 MPa ≥ $\sigma =$ 0.3 MPa

Donde:

$f_{p,max} =$ 35.2 MPa – resistencia de cálculo a aplastamiento del bloque de hormigón:

- $f_{p,max} = 0.85 \cdot f'_c \cdot \sqrt{\frac{A_2}{A_1}} \leq 1.7 \cdot f'_c$, donde:
  - $f'_c =$ 20.7 MPa – resistencia a compresión del hormigón
  - $A_1 =$ 9877 mm^2 – Área de la placa base en contacto con la superficie de hormigón
  - $A_2 =$ 199389 mm^2 – Superfície de apoyo del hormigón

$\phi_c =$ 0.65 – factor de resistencia para el hormigón

Pandeo

El análisis de pandeo no se ha calculado.

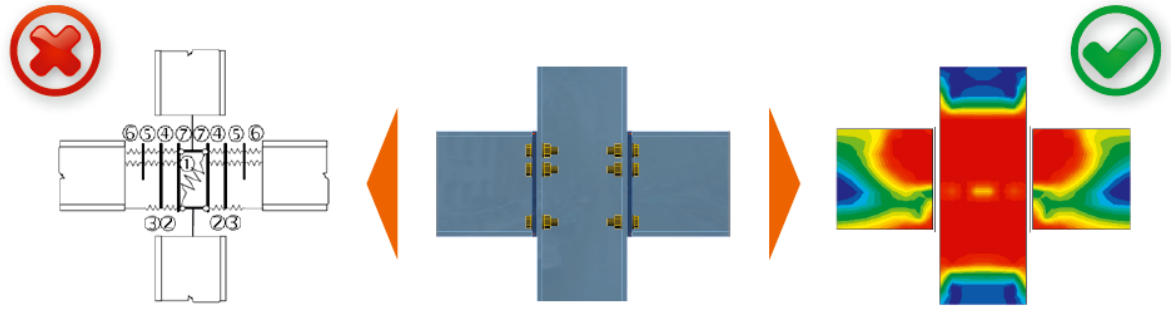
Configuración de la norma

Ítem	Valor	Unidad	Referencia
Coeficiente de fricción - hormigón	0.40	-	ACI 349-01 – B.6.1.4
Coeficiente de fricción en la resistencia a deslizamiento	0.30	-	AISC 360-22 – J3.9
Deformación plástica límite	0.05	-	
Detallado	Sí		
Distancia entre tornillos [d]	2.66	-	AISC 360-22 – J3.4
Distancia entre tornillos y el borde [d]	1.25	-	AISC 360-22 – J.3.5
Resistencia al arrancamiento del cono de hormigón	Ambos		
Resistencia del metal base en la cara de fusión de la soldadura	No		AISC 360-22 – J2-2
La deformación en el orificio del perno con la carga de servicio es una consideración de diseño	Sí		AISC 360-22 – J3.11
Hormigón fisurado	Sí		ACI 318-14 – 17
Comprobación de la deformación local	Sí		
Deformación límite local	0.03	-	CIDECT DG 1, 3 - 1.1
No linealidad geométrica (GMNA)	Sí		Grandes deformaciones para secciones huecas

Theoretical Background

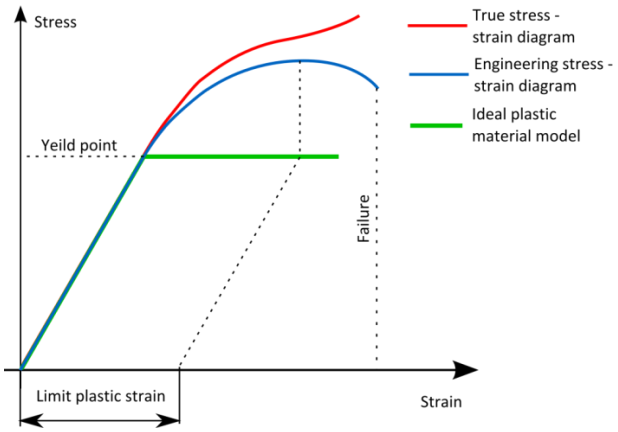
CBFEM versus AISC 360

The weak point of standard design method is in analyzing of internal forces and stress in a joint. CBFEM replaces specific analysis of internal forces in joint with general FEA.



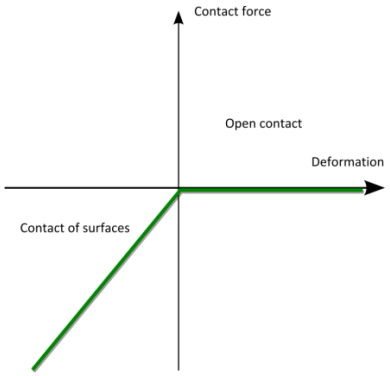
Component model *Bolted joint* *CBFEM model*

Check methods of specific components like bolts or welds are done according to standard AISC 360.
For the fasteners – bolts and welds – special FEM components had to be developed to model the welds and bolts behaviour in the connection. All parts of 1D members and all additional plates are modeled as plate/walls. These elements are made of steel (metal in general) and the behaviour of this material is significantly nonlinear.
The real stress-strain diagram of steel is replaced by the ideal plastic material for design purposes in building practice. The advantage of ideal plastic material is, that only yield strength and modulus of elasticity must be known to describe the material curve. The yield strength is multiplied by resistance factor (LRFD) or divided by safety factor (ASD) – AISC 360, Appendix 1. The granted ductility of construction steel is 15 %. The real usable value of limit plastic strain is 5% for ordinary design (EN 1993-1-5 appendix C paragraph C.8 note 1).
The stress in steel cannot exceed the yield strength when using the ideal elastic-plastic stress-strain diagram.



Real tension curve and the ideal elastic-plastic diagram of material

CBFEM method aims to model the real state precisely. Meshes of plates / walls are not merged, no intersections are generated between them, unlike it is used to when modeling structures and buildings. Mesh of finite elements is generated on each individual plate independently on mesh of other plates.
Between the meshes, special massless force interpolation constraints are added. They ensure the connection between the edge of one plate and the surface or edge of the other plate.
This unique calculation model provides very good results – both for the point of view of precision and of the analysis speed. The method is protected by patent.
The steel base plate is placed loosely on the concrete foundation. It is a contact element in the analysis model – the connection resists compression fully, but does not resist tension.



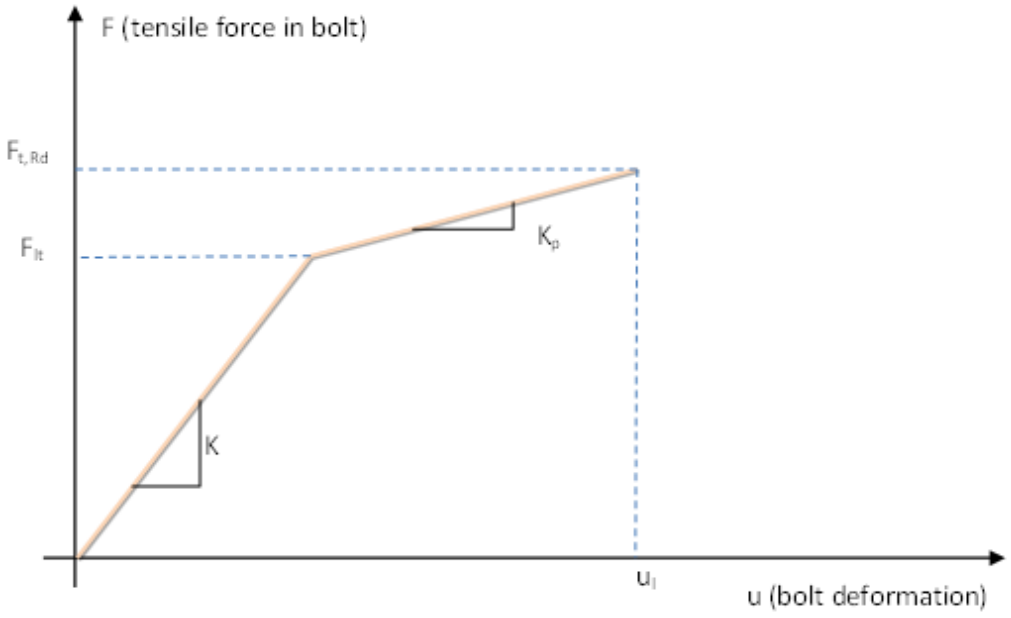
Stress-strain diagram of contact between the concrete block and the base plate

The concrete block in CBFEM is modeled using Winkler-Pasternak subsoil model. The stiffness of subsoil is determined using modulus of elasticity of concrete and effective height of subsoil. The concrete block is not designed by CBFEM method.

Welds are modeled using a special elastoplastic element, which is added to the interpolation links between the plates. The element respects the weld throat thickness, position and orientation. The plasticity state is controlled by stresses in the weld throat section. The plastic redistribution of stress in welds allows for stress peaks to be redistributed along the longer part of the weld.

Bolted connection consists of two or more clasped plates and one or more bolts. Plates are placed loosely on each other.
A contact element is inserted between plates in the analysis model, which acts only in compression. No forces are carried in tension.

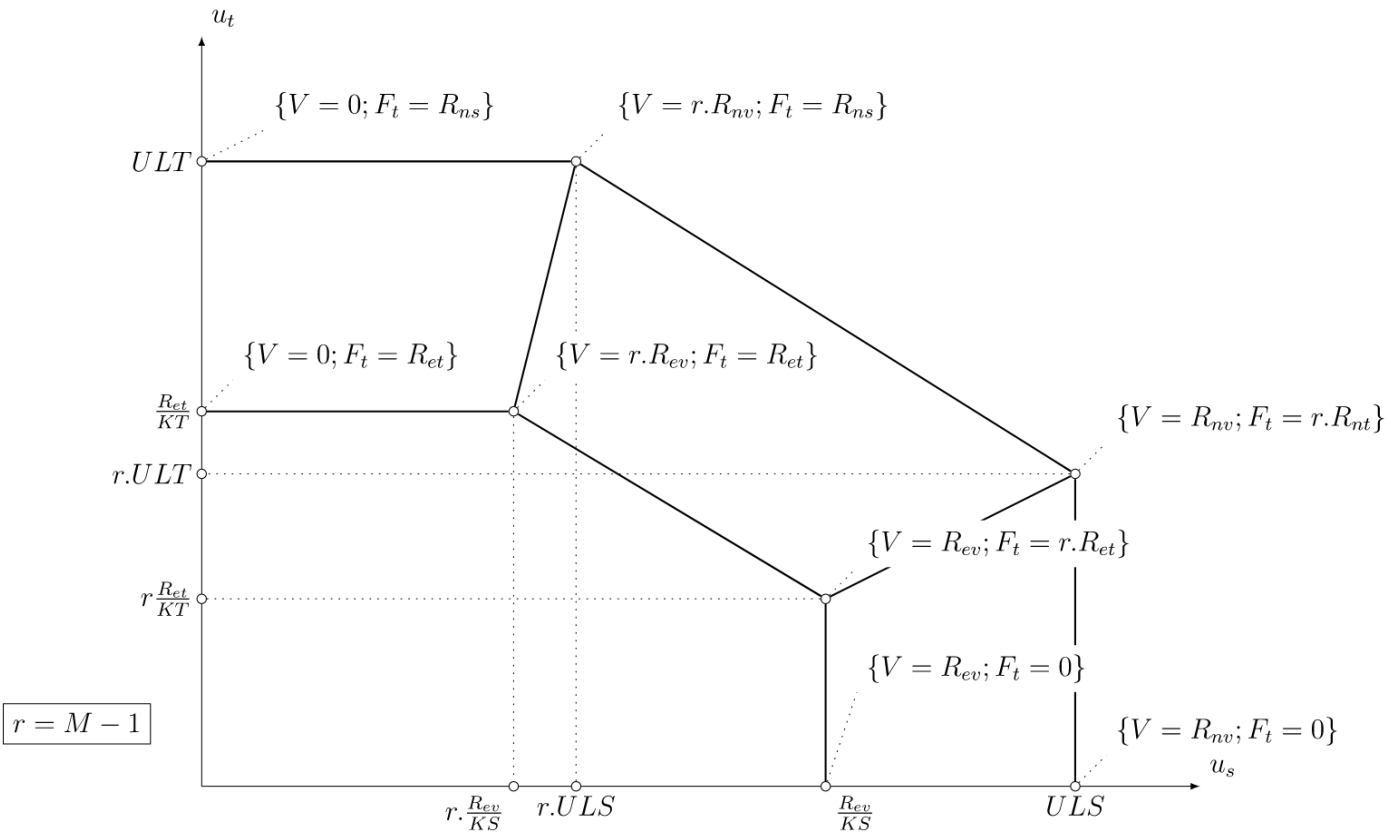
Shear force is taken by bearing. Special model for its transferring in the force direction only is implemented. IDEA StatiCa Connection can check bolts for interaction of shear and tension. The bolt behavior is implemented according to the following picture.



Bolt – tension

Symbols explanation:

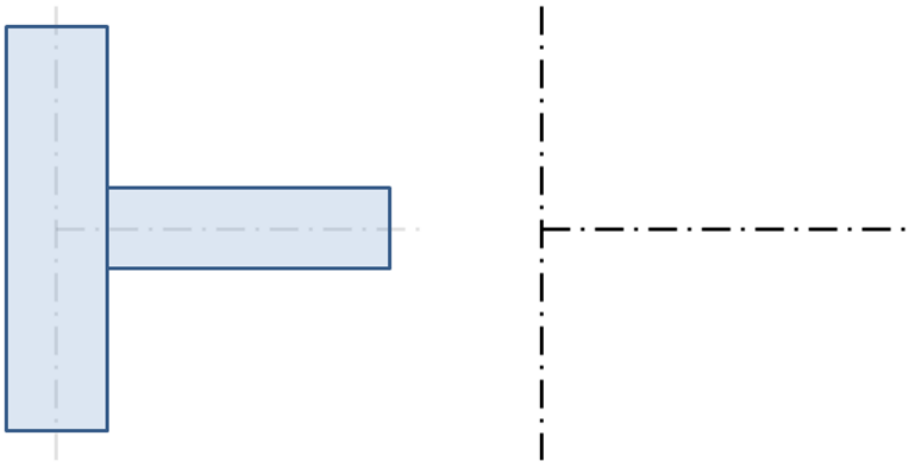
- K – linear stiffness of bolt,
- K_p – stiffness of bolt at plastic branch,
- F_{lt} – limit force for linear behaviour of bolt,
- $F_{t,Rd}$ – limit bolt resistance,
- u_l – limit deformation of bolt.



Bolt – interaction of shear and tension

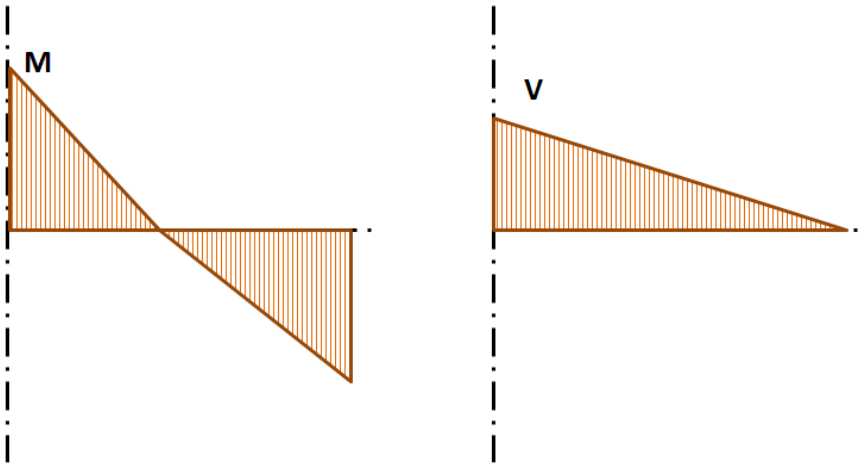
Loads

End forces of member of the frame analysis model are transferred to the ends of member segments. Eccentricities of members caused by the joint design are respected during load transfer.
The analysis model created by CBFEM method corresponds to the real joint very precisely, whereas the analysis of internal forces is performed on very idealised 3D FEM bar model, where individual beams are modeled using centrelines and the joints are modeled using immaterial nodes.



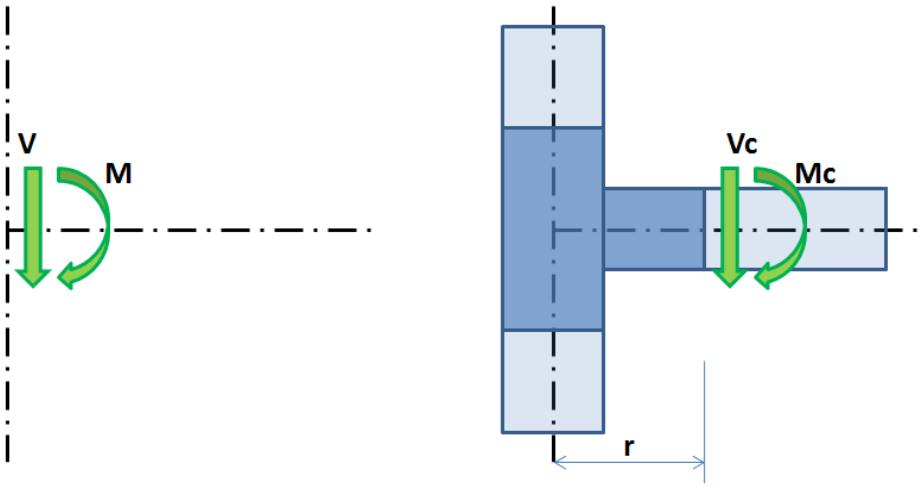
Joint of a vertical column and a horizontal beam

Internal forces are analysed using 1D members in 3D model. There is an example of courses of internal forces in the following picture.



Internal forces in horizontal beam. M and V are the end forces at joint.

The effects caused by member on the joint are important to design the connection. The effects are illustrated in the following picture.



Effects of the member on the joint. CBFEM model is drawn in dark blue color.

Moment M and shear force V act in a theoretical joint. The point of theoretical joint does not exist in CBFEM model, thus the load cannot be applied here. The model must be loaded by actions M and V, which have to be transferred to the end of segment in the distance r.
$M_c = M - V \cdot r$
$V_c = V$
In CBFEM model, the end section of segment is loaded by moment M_c and force V_c.

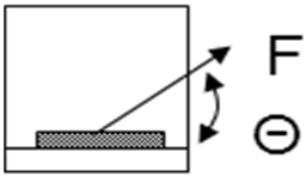
Welds

Fillet welds

The design strength, ϕR_n and the allowable strength, R_n/Ω of welded joints are evaluated in connection weld check.
$\phi = 0.75$ (LRFD)
$\Omega = 2.00$ (ASD)
Available strength of welded joints is evaluated according to AISC 360 – J2.4:
$R_n = F_{nw} A_{we}$
$F_{nw} = 0.60\, F_{EXX}\, (1.0 + 0.50 \sin^{1.5}\Theta)$
where

- F_{nw} – nominal stress of weld material,
- A_{we} – effective area of the weld,
- F_{EXX} – electrode classification number, i.e., minimum specified tensile strength,

- Θ – angle of loading measured from the weld longitudinal axis.



For long welds and welding to unstiffened flanges or webs of rectangular hollow sections, the weld material model is fine-tuned so that no reduction factor is necessary. The weld resistance is governed by most stressed weld element.

CJP groove welds

AISC Specification Table J2.5 identifies four loading conditions that might be associated with JP groove welds, and shows that the strength of the joint is either controlled by the base metal or that the loads need not be considered in the design of the welds connecting the parts. Accordingly, when CJP groove welds are made with matching-strength filler metal, the strength of a connection is governed or controlled by the base metal, and no checks on the weld strength are required.

Bolts

Tensile and shear strength of bolts

The design tensile or shear strength, ϕR_n, and the allowable tensile or shear strength, R_n / Ω of a snug-tightened bolt is determined according to the limit states of tension rupture and shear rupture as follows:
$R_n = F_n A_b$
$\phi = 0.75$ (LRFD)
$\Omega = 2.00$ (ASD)
where

- A_b – nominal unthreaded body area of bolt or threaded part,
- F_n – nominal tensile stress, F_{nt}, or shear stress, F_{nv}, from Table J3.2.

The tensile force, against which the required tensile strength is checked, includes any tension resulting from prying action produced by deformation of the connected parts.

Combined Tension and shear in bearing type connection

The available tensile strength of a bolt subjected to combined tension and shear is determined according to the limit states of tension and shear rupture as follows:
$R_n = F'_{nt} A_b$ (AISC 360 J3-2)
$\phi = 0.75$ (LRFD)
$\Omega = 2.00$ (ASD)
$F'_{nt} = 1.3 F_{nt} - f_{rv} F_{nt} / \phi F_{nv}$ (AISC 360 J3-3a LRFD)
$F'_{nt} = 1.3 F_{nt} - f_{rv} \Omega F_{nt} / F_{nv}$ (AISC 360 J3-3b ASD)
where

- F'_{nt} – nominal tensile stress modified to include the effects of shear stress,
- F_{nt} – nominal tensile stress from AISC 360 – Tab. J3.2,
- F_{nv} – nominal shear stress from AISC 360 – Tab. J3.2,
- f_{rv} – required shear stress using LRFD or ASD load combinations. The available shear stress of the fastener shall be equal or exceed the required shear stress, f_{rv}.

Bearing strength in bolt holes

The available bearing strength, ϕR_n and R_n/Ω at bolt holes is determined for the limit state of bearing as follows:
For a bolt in a connection with standard holes:
$R_n = 1.2 l_c t F_u \le 2.4 d t F_u$ (AISC 360 J3-6a, c)
For a bolt in a connection with slotted holes:
$R_n = 1.0 l_c t F_u \le 2.0 d t F_u$ (AISC 360 J3-6e, f)
$\phi = 0.75$ (LRFD)
$\Omega = 2.00$ (ASD)

where

- F_u – specified minimum tensile strength of the connected material,
- d – nominal bolt diameter,
- l_c – clear distance, in the direction of the force, between the edge of the hole and the edge of the adjacent hole or edge of the material,
- t – thickness of connected material.

Preloaded bolts

The design slip resistance of a preloaded class A325 or A490 bolt with of effect of tensile force, $F_{t,Ed}$ according to AISC 360 – J3.9.
Preloading force to be used AISC 360 – Tab. J3.1.
$T_b = 0.7\, f_{ub} A_s$
Design slip resistance per bolt AISC 360 – J3.8
$R_n = 1.13\, \mu\, T_b N_s$
Utilisation in shear [%]:
$U_{ts} = V / R_n$
where

- A_s – tensile stress area of the bolt,
- f_{ub} – ultimate tensile strength,
- μ – mean slip factor coefficient,
- N_s – number of the friction surfaces. Check is calculated for each friction surface separately,
- V – shear force.

Anchors

The anchor bolt element is elastic-plastic with significant strain hardening. The maximum steel tensile resistance is expected at the strain which equals to 0.25 × guaranteed elongation. The failure mode due to concrete cracking may occur before the anchor steel tensile resistance is reached and is considered as a completely brittle failure.
Similarly, the steel components in shear (anchor bolt, base plate in bearing) are able to yield but failure modes connected with concrete cracking may occur suddenly as a brittle failure.
All standards use Concrete Capacity Design method developed by prof. R. Eligehausen at University of Stuttgart. The theory is based on vast experimental and numerical testing mostly on unreinforced concrete blocks and relatively short, often post-installed, anchors.
Anchorage is designed according to ACI 318-14 – Chapter 17. The design is available only for LRFD. Some failure modes (e.g. steel resistance) are evaluated for single anchors, others (e.g. concrete breakout) are checked for group of anchors.